

برنامه‌ریزی کوتاه مدت واحدهای آبی حرارتی با استفاده از الگوریتم توسعه یافته بهینه‌یابی

جفت‌گیری زنبور عسل

حامد برادران توکلی^۱ و بابک مظفری^۲

۱- مرتبی، دانشگاه آزاد اسلامی، واحد علوم و تحقیقات تهران، گروه مهندسی برق، تهران، ایران

hamed.baradarantavakoli@gmail.com

۲- استادیار، دانشگاه آزاد اسلامی، واحد علوم و تحقیقات تهران، گروه مهندسی برق، تهران، ایران

mozafari_babak@yahoo.com

چکیده: در این مقاله روشی جدید برای حل مسئله برنامه ریزی کوتاه مدت واحدهای آبی - حرارتی، برای مینیمم کردن هزینه نهایی تولید و تولید انرژی الکتریکی به صورت بهینه، با استفاده از الگوریتم توسعه یافته بهینه‌یابی جفت‌گیری زنبور عسل معرفی شده است. با توجه به اینکه در برنامه ریزی مربوط به واحدهای آبی - حرارتی قیود بسیاری، از جمله: قید تعادل توان تولیدی، قید تعادل آب پشت سد، لختی آب انتقالی بین سدها، محدودیت حجم آب ذخیره شده و محدودیت مربوط به عملکرد واحدهای آبی و حرارتی وجود دارد، مسئله برنامه ریزی واحدهای آبی - حرارتی به یک مسئله بهینه‌یابی بسیار پیچیده و غیر خطی تبدیل شده است. در این مقاله، علاوه بر روش بهینه‌یابی جفت‌گیری زنبور عسل، الگوریتم جفت‌گیری زنبور عسل به شکل توسعه یافته نیز معرفی شده و بر روی یک سیستم نمونه پیاده سازی و در پایان، نتایج مربوط به روش توسعه یافته با نتایج مربوط به دیگر روش‌های بهینه‌یابی مقایسه شده است. با توجه به نتایج شبیه سازی آشکار است که روش توسعه یافته جفت‌گیری زنبور عسل دارای سرعت همگرایی بسیار بالاتر و زمان حل و هزینه نهایی پایین‌تری نسبت به روش‌های الگوریتم بهینه‌یابی جفت‌گیری زنبور عسل، الگوریتم ژنتیک، بهینه‌یابی انبوه ذرات و دیگر روش‌های بهینه‌یابی است.

واژه‌های کلیدی: برنامه ریزی کوتاه مدت واحدهای آبی - حرارتی، الگوریتم توسعه یافته بهینه‌یابی جفت‌گیری زنبور عسل.

توربین‌های آبی بخشی از تقاضای بار را تأمین می‌کنند و آن قسمت از تقاضای بار که توسط واحدهای آبی تأمین نشده، توسط واحدهای حرارتی تأمین می‌شود. بنابراین، هزینه نهایی تولید مربوط به واحدهای حرارتی با در نظر گرفتن قیود مختلف مربوط به واحدهای آبی و حرارتی مینیمم می‌شود. مهترین قیود شامل: تعادل توان، تعادل آب پشت سد، محدودیت فیزیکی مربوط به آب ذخیره شده و آب جاری شده از طریق توربین و همچنین، محدودیت تولید توان از طریق واحدهای آبی و واحدهای حرارتی هستند. علاوه بر این موارد، تأخیر زمانی و تغییر تقاضای بار در هر ساعت سبب شده که مسئله برنامه ریزی واحدهای آبی - حرارتی به مسئله‌ای غیر خطی و بسیار پیچیده تبدیل شود.

۱- مقدمه

برنامه ریزی کوتاه مدت مربوط به واحدهای آبی - حرارتی یکی از مهمترین موضوع‌ها در عملکرد اقتصادی سیستم‌های تولید انرژی الکتریکی است. از طریق برنامه ریزی کوتاه مدت واحدهای آبی - حرارتی، آب مورد نیاز در هر ساعت برای تولید انرژی الکتریکی توسط واحدهای آبی مشخص می‌شود. با توجه به میزان توان مورد تقاضا،

^۱ تاریخ ارسال مقاله : ۱۳۹۱/۶/۶
تاریخ پذیرش مقاله : ۱۳۹۱/۱۰/۳۰
نام نویسنده مسئول : حامد برادران توکلی
نشانی نویسنده مسئول : ایران - تهران - دانشگاه آزاد اسلامی، واحد علوم و تحقیقات تهران - گروه مهندسی برق

شبکه‌های عصبی [۱۲] simulated annealing، [۱۳] tabu search [۱۴، ۱۵]، [۱۶] cultural algorithm [۱۷] ant colony [۱۸] و evolutionary programing [۱۹] ابی جفت گیری زنبور عسل بهینه یابی انبوه ذرات [۸] برای حل مسئله برنامه ریزی سیستم‌های آبی - حرارتی استفاده شده است.

الگوریتم بهینه یابی جفت گیری زنبور عسل نخستین بار توسط بزرگ حداد و افشار [۱] معرفی شده است. در این الگوریتم فرایند بهینه سازی نشأت گرفته از رفتار واقعی در جفت گیری و تولید مثل زنبورهای عسل است. این الگوریتم با تعداد قابل قبولی از پروازهای جفت گیری نتایج مناسب و نزدیک به بهینه مطلق ارائه می‌نماید. با اینکه این الگوریتم در مراحل مقدماتی توسعه قرار دارد اما نتایج حاصل از آن بیانگر برتری این روش نسبت به روش‌های الگوریتم ثنتیک، الگوریتم بهینه یابی انبوه ذرات و دیگر روش‌های بهینه یابی در تولید هزینه نهایی مینیمم است.

در بخش دوم فرمولهای ریاضی مربوط به برنامه ریزی واحدهای آبی و حرارتی نشان داده شده است. در بخش سوم الگوریتم بهینه یابی جفت گیری زنبور عسل^۳ معرفی شده است. در بخش چهارم الگوریتم توسعه یافته بهینه یابی جفت گیری زنبور عسل^۴ و کاربرد این روش به صورت گام به گام در برنامه ریزی واحدهای آبی - حرارتی نشان داده شده است. در بخش پنجم نتایج حاصل از شیوه سازی بر روی سیستم معرفی شده در مرجع [۲۰]، نشان داده شده است و نهایتاً در بخش ششم نتیجه گیری کلی از مقاله به طور خلاصه شرح داده شده است.

۲- بیان و فرموله کردن مسئله

هدف عمده و اساسی از برنامه ریزی کوتاه مدت واحدهای آبی و حرارتی مینیمم کردن هزینه نهایی تولید مربوط به واحدهای حرارتی است. با توجه به اینکه هزینه مربوط به توان تولیدی توسط واحدهای آبی نادیده گرفته می‌شود، در برنامه ریزی واحدهای آبی و حرارتی برای

در طی دهه‌های اخیر روش‌های زیادی برای حل مسئله برنامه ریزی تولید واحدهای آبی - حرارتی پیشنهاد شده است که مهمترین آنها، شامل: برنامه ریزی دینامیکی [۲]، برنامه ریزی جریان شبکه [۳]، روش تجزیه [۴]، برنامه ریزی خطی عدد صحیح مختلط [۵] و روش ضرایب لاگرانژ [۶، ۷] هستند.

در بین روش‌های ذکر شده، روش برنامه ریزی دینامیکی به این علت که مسائل بزرگ با قیود پیچیده را به طور مستقیم حل می‌کند از محبوبیت بیشتری برخوردار است، اما مشکلی که این روش دارد این است که با افزایش اندازه سیستم و مدت برنامه ریزی، رشد محاسباتی و ابعادی مسئله به شدت زیاد و باعث رسیدن به یک حل زیر بهینه می‌شود [۸].

در روش برنامه ریزی جریان شبکه سیستم اغلب به صورت خطی یا خطی تکه‌ای برنامه ریزی می‌شود. به طور کلی، در برنامه ریزی خطی توان تولیدی به صورت خطی به آب تخلیه شده از سد وابسته است. بنابراین، تغییر ارتفاع آب سد نادیده گرفته می‌شود که این سبب می‌شود که توان تولیدی توسط واحدهای آبی کاهش یافته، جواب مسئله از جواب ایده آل فاصله بگیرد. [۹]

در روش تجزیه بررسی قیدهای گوناگون سبب افزایش متغیرهای دوگانه و پیچیدگی عمل بهینه سازی می‌شود [۱۰]، همچنین، در روش برنامه ریزی خطی عدد صحیح مختلط با گسسته سازی از ارتباط غیرخطی بین توان تولیدی، آب تخلیه شده و ارتفاع آب برای مدل کردن تغییرات ارتفاع آب استفاده شده است. به کار بردن روش ضرایب لاگرانژ بسیار پیچیده بوده، همچنین کیفیت راه حل به روش به روز رسانی ضرایب لاگرانژ وابسته است [۹]. در نتیجه، در روش‌های سنتی به مدل واحدهای آبی در کنار مدل واحدهای حرارتی نیاز است تا بتوان این روش‌ها را به شکل خطی تکه‌ای یا به صورت ضرایب چند جمله‌ای نشان داد. بنابراین، این تقریب‌ها ممکن است به راه حل‌های نا مطلوب بینجامد و نهایتاً به از دست رفتن درآمدهای عظیمی در طی دوره برنامه ریزی منجر می‌شود [۱۱].

در سال‌های اخیر روش‌های هوش مصنوعی، از جمله

PS_i^{max} , PS_i^{min} حداقل و حداکثر توان تولیدی برای واحد حرارتی آم، Ph_j^{max} , Ph_j^{min} حداقل و حداکثر توان تولیدی برای واحد آبی λ است.

$Ph_{j,t}$ به عنوان تابع چند جمله‌ای از نرخ آب تخلیه شده از سد و حجم آب ذخیره شده پشت سد در نظر گرفته شده است که از رابطه زیر محاسبه می‌شود

[۲۰، ۱۹.۹]

$$\begin{aligned} Ph_{j,t} = & Ch_{1j}Vh_{j,t}^2 + Ch_{2j}Qh_{j,t}^2 + \\ & Ch_{3j}Vh_{j,t}Qh_{j,t} + Ch_{4j}Vh_{j,t} + Ch_{5j}Qh_{j,t} + \\ & Ch_{6j} \end{aligned} \quad (6)$$

ضرایب ثابت تولید آبی واحد j ام، $Vh_{j,t}$ حجم آب ذخیره شده (m^3) از منبع λ در فاصله زمانی t ، $Qh_{j,t}$ نرخ آب تخلیه شده (m^3/h) از منبع λ در بازه زمانی t است.

۲-۳-۲-۲- تعادل دینامیکی آب [۲۰]

$$Vh_{j,t} = Vh_{j,t-1} + rh_{j,t} - Qh_{j,t} - Sh_{j,t} + \sum_{r=1}^{UP_j} (Qh_{r,t-\tau_{rj}} + Sh_{r,t-\tau_{rj}}) \quad (7)$$

حجم آب ذخیره شده (m^3) در منبع λ از ساعت قبل، $rh_{j,t}$ نرخ ورود آب طبیعی از منبع λ و در بازه زمانی t نرخ سرریز آب از منبع λ و در بازه زمانی t تأخیر زمانی آب انتقالی بین منبع r و j ، UP_j تعداد کل واحدهای بالادست که بالای منبع λ واقع شده است.

میزان سرریز آب $Sh_{j,t} = 0$ در نظر گرفته شده است.

۴-۲-۲-۲- محدودیت حجم آب ذخیره شده پشت سد [۲۰]

$$Vh_j^{min} \leq Vh_{j,t} \leq Vh_j^{max} \quad (8)$$

شده برای منبع λ است.

۵-۲-۲- قید حجم اولیه و نهایی آب [۲۰]

$$Vh_{j,0} = Vh_j^{ini} \quad (9)$$

$$Vh_{j,t} = Vh_{j,end} \quad (10)$$

تأمین بار مورد تقاضای سیستم هدف این است که ضمن ارضای قیود عملکردی سیستم حتی الامکان توان مورد تقاضا، توسط واحدهای آبی تأمین شود و آن مقدار توان که توسط واحدهای آبی تأمین نشده است، از طریق واحدهای حرارتی تأمین شود. بنابراین، هزینه نهایی تولید مربوط به واحدهای حرارتی (تابع هدف OF) مینیمم می‌شود. تابع هدف و قیود مربوط به مسئله به صورت زیر فرموله شده است:

۱-۲- تابع هدف

$$minOF = \sum_{t=1}^T \sum_{i=1}^{Ns} [f_i(PS_{i,t})] \quad (1)$$

به طور کلی، هزینه مربوط به تولید توان واحدهای حرارتی می‌تواند به شکل تابعی از توان تولیدی که یک تابع درجه دو است، بیان شود [۲۰].

$$f_i(PS_{i,t}) = as_i + bs_i PS_{i,t} + cs_i PS_{i,t}^2 \quad (2)$$

هزینه نهایی سوخت، T دوره برنامه ریزی (بر حسب ساعت)، Ns تعداد واحدهای حرارتی، $PS_{i,t}$ ضرایب هزینه سوخت واحد حرارتی، $F_i(PS_{i,t})$ واحد آم در بازه زمانی t و هزینه سوخت واحد آم در بازه زمانی t است.

۲-۲- قیود مسئله

۱-۲-۲- تعادل توان در سیستم قدرت

$$\sum_{i=1}^{Ns} PS_{i,t} + \sum_{j=1}^{Nh} Ph_{j,t} - PD_t - PL_t = 0 \quad (3)$$

تعداد واحدهای آبی، $Ph_{j,t}$ توان تولیدی واحد آبی آم در بازه زمانی t (MW)، PD_t توان اکتیو مورد تقاضا در فاصله زمانی t و PL_t تلفات انتقال در فاصله زمانی t است. در سیستم مورد مطالعه در این مقاله $PL_t = 0$ در نظر گرفته شده است.

۲-۲-۲- محدودیت های توان تولیدی

$$Ph_j^{min} \leq Ph_{j,t} \leq Ph_j^{max} \quad (4)$$

$$PS_i^{min} \leq PS_{i,t} \leq PS_i^{max} \quad (5)$$

ملکه تخم ریزی بارور انجام می‌دهد، مخلوطی از اسپرم جمع شده در محفظه اسپرم را برای باروری تخم‌ها خارج می‌سازد [۲۳]. هنگام پرواز جفت گیری ملکه توسط جمعیت انبوهی از زنبورهای نر تعقیب شده و سرانجام زنبورهای نر که موفق به جفت گیری با ملکه می‌شوند، خواهند مرد، ولی ملکه اسپرم آنها را دریافت می‌نماید، این بدان معناست که ملکه چندین بار و با چند زنبور نر جفت گیری می‌نماید ولی زنبورهای نر تنها قادر به یک بار جفت گیری با ملکه هستند. این عمل جفت گیری، زنبورها را در قیاس با دیگر حشرات منحصر به فرد می‌سازد. در واقع، پرواز جفت گیری می‌تواند به یک مجموعه جا به جایی در فضای مکان (محیط) تشبیه شود، که در آن ملکه در نقاط مختلف و با سرعت‌های متفاوت به پرواز در آمده، با زنبورهای نر که در آن لحظه و در آن مکان برخورد می‌نماید، به طور تصادفی جفت گیری می‌کند [۲۴].

۳-۳- شرح الگوریتم

الگوریتم با سه پارامتر تعیین شده توسط کاربر و یک پارامتر از پیش تعریف شده که تعداد کارگرهاست، شروع می‌شود.

در طبیعت نقش کارگرها محدود به بچه داری و تغذیه ملکه است. بنابراین، در الگوریتم توسعه یافته هر کارگر به عنوان یک رفتار و تابع فراکاوشی برای ترقی نسل و یا مراقبت از مجموعه ای از بچه‌ها عمل می‌نماید. سه پارامتر تعیین شده توسط کاربر نیز تعداد ملکه‌ها، اندازه کیسه محل تجمع اسپرم در ملکه (ماکریزم) تعداد جفت گیری هر ملکه در یک پرواز جفت گیری) و تعداد نوزادانی است که توسط همه ملکه‌ها متولد می‌شوند.

پس از تعیین پارامترها تعدادی پرواز جفت گیری انجام می‌شود. در هر پرواز جفت گیری همه ملکه‌ها بر اساس سرعت (انرژی) اولیه شان که برای هر ملکه قبل از شروع هر پرواز جفت گیری به طور تصادفی مقدار دهی می‌شود، پرواز می‌کنند. طی هر قدم در فضای ملکه با زنبور نر که به طور تصادفی با آن رویارو شده، بنابر قانون احتمال زیر که مانند یکتابع نور (آبکاری) عمل می‌کند، جفت گیری می‌کنند:

$$Prob(Q, D) = \exp(-\Delta f / S(t)) \quad (12)$$

حجم آب ذخیره شده (m^3) از منبع زام در ابتدای دوره زمانی t و $Vh_{j,end}$ حجم آب ذخیره شده (m^3) از منبع زام در پایان دوره زمانی t است.

۶-۲- محدودیت نرخ تخلیه آب واحدهای آبی

[۲۰]

$$Qh_j^{min} \leq Qh_{j,t} \leq Qh_j^{max} \quad (11)$$

Qh_j^{max}, Qh_j^{min} حداقل و حداکثر نرخ آب خروجی از منبع زام است.

۳- الگوریتم بهینه یابی جفت گیری زنبور عسل

۱- ساختار کلی زنبور عسل

یک کندوی زنبور عسل به طور معمول، شامل یک ملکه با طول عمر زیاد برای تخم‌گذاری و تعداد از صفر تا چند صد زنبور نر (با در نظر گرفتن فصوص مختلف سال) و حدود ۱۰۰۰۰ تا ۶۰۰۰۰ زنبور کارگر است [۲۱]. ملکه‌ها اصلی ترین نقش تولید مثل را در برخی گونه‌های زنبور عسل ایفا نموده، وظیفه تخم‌گذاری را نیز به عهده دارند [۲۲]. زنبورهای نر پدران کندو هستند. آنها تک جنسی بوده، وظیفه تشدید ژنهای مادران، بدون تغییر در ترکیب ژنتیک آنها را بر عهده دارند. وظیفه کارگرها بچه داری و در برخی موارد تخمگذاری است. بچه‌ها از تخم‌های بارور و نابارور حاصل می‌شوند؛ به گونه‌ای که، از دسته اول ملکه و زنبورهای کارگر و از دسته دوم زنبورهای نر تولید می‌شوند.

۲- پرواز جفت گیری

پرواز جفت گیری با رقص مخصوصی از جانب ملکه آغاز می‌گردد. در این پرواز زنبورهای نر به تعقیب ملکه پرداخته، در فضای جفت گیری با ملکه را انجام می‌دهند. در یک پرواز جفت گیری معمول هر ملکه با ۷ تا ۲۰ زنبور نر جفت گیری می‌کند. در هر جفت گیری اسپرم وارد محفظه اسپرم ملکه شده و در آنجا جمع آوری می‌گردد. هر بار که

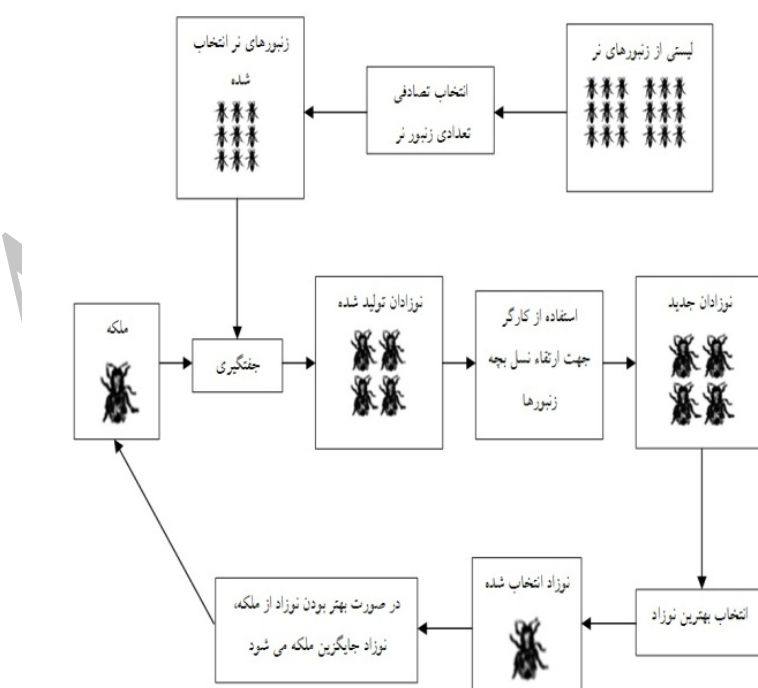
سرعتش نیز کاهش می‌یابد می‌توان از این موضوع نیز به عنوان نشانه‌ای برای فهمیدن اینکه پرواز جفت‌گیری چه موقع به پایان می‌رسد، استفاده کرد. وقتی همه ملکه‌ها پرواز جفت‌گیری‌شان را کامل کنند، به کندو باز می‌گردند و تخم گذاری را شروع می‌کنند. برای تعداد مورد نیازی از نوزادان، یک ملکه مناسب با قابلیتش انتخاب می‌شود و با یک اسپرم انتخاب شده از کیسه اش به طور تصادفی جفت‌گیری می‌کند. سپس یک کارگر مناسب با قابلیتش برای بهبود نوزاد انتخاب می‌شود. پس از این که همه نوزادان متولد شدند، طبق قابلیتشان دسته بنده می‌شوند. بهترین نوزاد با بدترین ملکه تعویض شده، و این روند تا زمانی که هیچ نوزادی بهتر از ملکه نباشد، ادامه می‌یابد. اگر نوزادی نتواند جای ملکه را بگیرد، در پرواز جفت‌گیری بعد به عنوان یکی از زنبوران نر در نظر گرفته می‌شود. پرواز جفت‌گیری جدیدی شروع می‌شود و این ادامه دارد تا این که همه پروازهای جفت‌گیری کامل شوند و یا این که معیارهای همگرایی برآورده شوند.^[۲۴] گام‌های اساسی در الگوریتم بهینه یابی جفت‌گیری زنبور عسل در شکل (۱) نشان داده شده است.

احتمال اضافه شدن اسپرم زنبور نر D به کیسه محل تجمع اسپرم در ملکه Q (یعنی احتمال جفت‌گیری موفق) است. Δf تفاوت مطلق بین قابلیت D (یعنی $f(D)$) و قابلیت Q (یعنی $f(Q)$) و $S(t)$ سرعت ملکه در زمان t است. واضح است که این تابع مثل یک تابع آنکاری عمل می‌کند. وقتی ملکه هنوز در شروع پرواز جفت‌گیری اش است؛ یعنی وقتی سرعتش بالاست یا وقتی که قابلیت زنبور نر به خوبی ملکه است، احتمال یک جفت‌گیری موفق زیاد است. اگر جفت‌گیری موفقیت آمیز باشد، اسپرم زنبور نر در کیسه محل تجمع اسپرم ملکه ذخیره می‌شود. پس از هر انتقال در فضا، سرعت (S) و انرژی اولیه (E) ملکه طبق معادلات زیر کاهش می‌یابند:

$$S(t+1) = \alpha(t)S(t) \quad (13)$$

$$E(t+1) = E(t) - \gamma \quad (14)$$

که α فاکتوری است بین صفر تا یک و γ مقدار کاهش انرژی پس از هر انتقال است. هنگامی که انرژی به آستانه صفر می‌رسد، مطابق با این است که کیسه محل تجمع اسپرم برو شده است. در نتیجه، پرواز جفت‌گیری تمام شده، ملکه باید به کندو باز گردد. وقتی که انرژی ملکه کاهش می‌یابد،



شکل (۱): الگوریتم بهینه یابی جفت‌گیری زنبور عسل

در معادله (۱۵)، $f(x)$ متغیر تصمیم گیری الگوریتم جفت گیری زنبور عسل و Δx یک مقدار رندوم با علامت‌های مثبت یا منفی است.

روش کار در الگوریتم توسعه یافته به این صورت است که یک تعداد پرواز جفت گیری مشخص انتخاب می‌شود که در این پروازها تغذیه ملکه انجام می‌شود. این عمل باعث می‌شود که سرعت همگرایی به شدت افزایش بیابد؛ به طوری که با هر بار اصلاح ملکه سرعت همگرایی تا چندین تکرار جلو بیفت.

اساس کار به این صورت است که به اندازه یک Δx ، در بازه مربوطه، بر روی متغیر تصمیم گیری، که نرخ آب خروجی واحدها است، تغییر ایجاد می‌شود که این تغییرات برای مدت ۲۴ ساعت و بر روی تک تک واحدهای آبی ایجاد می‌شود. در صورتی که پس از محاسبه تابع هدف تغییر ایجاد شده سبب بهبود جواب نهایی (ملکه) شود آن جواب جدید جایگزین جواب قبلی می‌شود و در صورتی که این تغییر در جواب نهایی (ملکه) بهبود ایجاد نکند؛ یعنی جواب از مقدار ملکه بیشتر شود، آنگاه در خلاف علامت Δx بر روی متغیر تصمیم گیری تغییر ایجاد می‌شود. این عمل باعث افزایش سرعت همگرایی شده؛ یعنی در تعداد تکرار بسیار اندک الگوریتم به مقدار مینیمم همگرا می‌شود و سبب نزدیک شدن الگوریتم به مینیمم مطلق می‌شود.

۲-۴- تابع هدف

برای مسئله برنامه ریزی واحدهای آبی - حرارتی، تابع هدف به صورت مجموع تابع هزینه مربوط به واحدهای حرارتی و عبارت مربوط به تابع جرمیمه است که این تابع جرمیمه شامل نوسان‌های مربوط به قیود مختلف آبی - حرارتی با در نظر گرفتن یک ضریب جرمیمه، مربوط به هر یک است. در نتیجه، تابع هدف را می‌توان به صورت زیر در نظر گرفت [۸]:

$$EVA = J + \sum_{k=1}^{Nc} \mu_k * |VIO_k| \quad (16)$$

که در آن EVA تابع هدف کلی بوده، J هزینه تولید نهایی مربوط به واحد حرارتی معادل است، Nc تعداد قیود مسئله بوده VIO_k مقدار نوسان مربوط به قید k و μ_k ضریب جرمیمه مربوط به نوسان قید k است.

۴- پیاده سازی الگوریتم توسعه یافته بهینه یابی جفت گیری زنبور عسل در مسئله

در تولید توان توسط واحدهای آبی منحنی عملکرد بر حسب آب ورودی نسبت به توان خروجی بیان شده است. از این رو، نرخ آب خروجی نیروگاه به عنوان متغیر تصمیم گیری در برنامه ریزی واحدها در نظر گرفته شده است. با دانستن آب خروجی هر واحد نیروگاهی، آب ورودی به واحد و معادله مشخصات واحدها، تغییرات آب ذخیره شده در سد و توان خروجی مربوط به واحدهای آبی به راحتی قابل محاسبه است. در الگوریتم توسعه یافته بهینه یابی جفت گیری زنبور عسل از سیستم کد کناری عدد حقیقی استفاده شده است. هر رشته عدد شامل $n * T$ عدد برای نمایش راه حل برای برنامه ریزی ساعتی آب تخلیه شده از n واحد آبی در طی دوره برنامه ریزی T ساعته است.

در بخش ۱-۴ الگوریتم توسعه یافته بهینه یابی جفت گیری زنبور عسل معرفی شده است و در بخش‌های بعد مرحله پیاده سازی این الگوریتم در برنامه ریزی واحدهای آبی حرارتی توضیح داده شده است.

۱-۴- الگوریتم توسعه یافته بهینه یابی جفت گیری زنبور عسل

در الگوریتم بهینه یابی جفت گیری زنبور عسل، ایجاد فراجهش برای رسیدن به جواب بهینه توسط زنبورهای کارگر بر روی ملکه انجام می‌شود. در این روش ملکه توسط ژله سلطنتی تغذیه می‌شود. ژله سلطنتی ماده‌ای ژله مانند به رنگ سفید شیری است. زنبورهای پرستار این ماده مغذی را مخفی کرده، تنها برای تغذیه ملکه مصرف می‌کنند. تغذیه ملکه توسط این ژله او را نسبت به بقیه زنبورها در کندو بزرگتر می‌سازد. [۱]

با توجه به اینکه ملکه مهمترین نقش را در فرایند جفت گیری چه در طبیعت و چه در الگوریتم بهینه یابی جفت گیری زنبور عسل بر عهده دارد، لذا در حالت توسعه یافته روشی خاص برای ارتقای نسل بر روی ملکه استفاده شده است که در ادامه معرفی می‌شود. در این روش، به منظور تولید ملکه ارتقا یافته از معادله ای به صورت زیر استفاده می‌شود:

$$f(x) \cong f(x) + \Delta x \quad (15)$$

- گام ۳: محاسبه مقدار تابع هدف هر یک از جواب‌های تولید شده همان طور که مراحل آن در قسمت ۲-۴ ذکر شده است. و نهایتاً انتخاب بهترین جواب به عنوان ملکه که در اینجا مینیمم هزینه به عنوان ملکه در نظر گرفته می‌شود؛
- گام ۴: بهبود ملکه توسط کارگرها با استفاده از روش معرفی شده در بخش ۱-۴ و معادلات مربوطه؛
- گام ۵: استفاده از تابع آبکاری معادله (۱۲) برای انتخاب مجموعه‌ای از جواب‌ها از فضای جستجو به منظور انجام عمل جفت‌گیری بین بهترین جواب حاضر (ملکه) و جواب‌های آزمایشی انتخاب شده برای مبادله اطلاعات محتمل؛
- گام ۶: تولید سری جدیدی از جواب‌ها، با به کارگیری عملگرهای تقاطع و توابع هوشمند از پیش تعریف شده، مثل انواع مختلف عملگرهای جهش، بر طبق مقدار قابلیتشان بین بهترین جواب حاضر و جواب‌های آزمایشی؛
- گام ۷: بهبود سری جدید تولید شده از جواب‌ها با به کارگیری توابع هوشمند (عملگرهای جهش متفاوت) بر طبق مقدار قابلیتشان؛
- گام ۸: محاسبه تابع هدف برای جواب‌های جدید تولید شده که در صورت بهتر شدن جواب از مقدار ملکه، جواب جدید جایگزین ملکه می‌شود؛
- گام ۹: در صورتی که تعداد تکرارها یا پرواز ملکه به مقدار نهایی برسد، از حلقه خارج شده و در غیر این صورت، الگوریتم به گام ۲ منتقل می‌شود و مراحل ۲ تا ۸ مجددآ تکرار می‌شود.
- در ادامه، فلوچارت روش پیشنهادی در شکل (۲) رسم شده است.

۵- شبیه سازی و نتایج

برای آزمایش میزان قدرت الگوریتم توسعه یافته جفت گیری زنبور عسل، این الگوریتم بر روی سیستم آبی-حرارتی معرفی شده در مرجع [۲۰] پیاده سازی شده است. همان طور که در شکل (۳) مشاهده می‌شود، این سیستم از چهار منبع نیروگاه آبی که به صورت زنجیره‌ای به یکدیگر متصل بوده، به همراه یک نیروگاه معادل حرارتی تشکیل شده است. دوره برنامه ریزی ۲۴ ساعته و با بازه زمانی ساعتی است. بهترین جواب به دست آمده برای این سیستم ۹۱۸۵۵۰ دلار است.

هزینه سوخت مربوط به واحدهای حرارتی به مجموع توان تولیدی واحدهای آبی و بار مورد تقاضای سیستم مطابق با معادله (۳) مربوط به تعادل بار سیستم وابسته است. معادله مشخصه یک سیستم حرارتی معادل که در این مقاله استفاده قرار شده، به شکل زیر است [۲۰]:

$$F_i(PS_{i,t}) = 5000 + 19.2PS_{i,t} + 0.002PS_{i,t}^2 \quad (17)$$

And $500 \leq PS_i \leq 2500$

برای به دست آوردن تابع هدف مربوط به معادله (۱۶) مراحل زیر به صورت گام به گام انجام شده است [۱۹]:

گام ۱: تولید آب خروجی ($Qh_{j,t}$) هر واحد به صورت رندوم و با در نظر گرفتن قید مربوط به نرخ حداقل و حداقل آب خروجی. گام ۲: با استفاده از معادله (۷) حجم آب مربوط به هر منبع $Vh_{j,t}$ محاسبه شده و سپس توان تولید شده توسط واحد آبی $Ph_{j,t}$ از طریق مشخصه خروجی توان واحد آبی، معادله (۶) محاسبه شده است.

گام ۳: با استفاده از معادله توان بار، معادله (۳) و مشخصه توان خروجی مربوط به واحد حرارتی معادله (۱۷) هزینه تولید مربوط به واحد حرارتی (F_i) قابل محاسبه است.

گام ۴: پس از آنکه محاسبات برای واحدهای آبی از واحدهای بالا تا واحد پایین و از ساعت ۱۱ تا ساعت ۱۴ انجام شد، هزینه تولید نهایی J مربوط به واحد حرارتی قابل محاسبه است.

گام ۵: طبق معادلات مربوط به قیود مختلف، از جمله معادلات (۴)، (۵)، (۶)، (۷)، (۹) و (۱۰) میزان نوسان‌های قیدهای مختلف تخمین زده می‌شود.

گام ۶: با استفاده از معادله (۱۶)، تابع هدف EVA برای الگوریتم جفت گیری زنبور عسل محاسبه شده است.

۴-۳- استفاده از الگوریتم توسعه یافته بهینه یابی

جفت گیری زنبور عسل در مسئله

گام ۱: تعیین پارامترهای مربوط به سیستم و الگوریتم از قبیل تعداد ملکه‌ها، تعداد نوزادان، حداقل تعداد جفت گیری وغیره؛

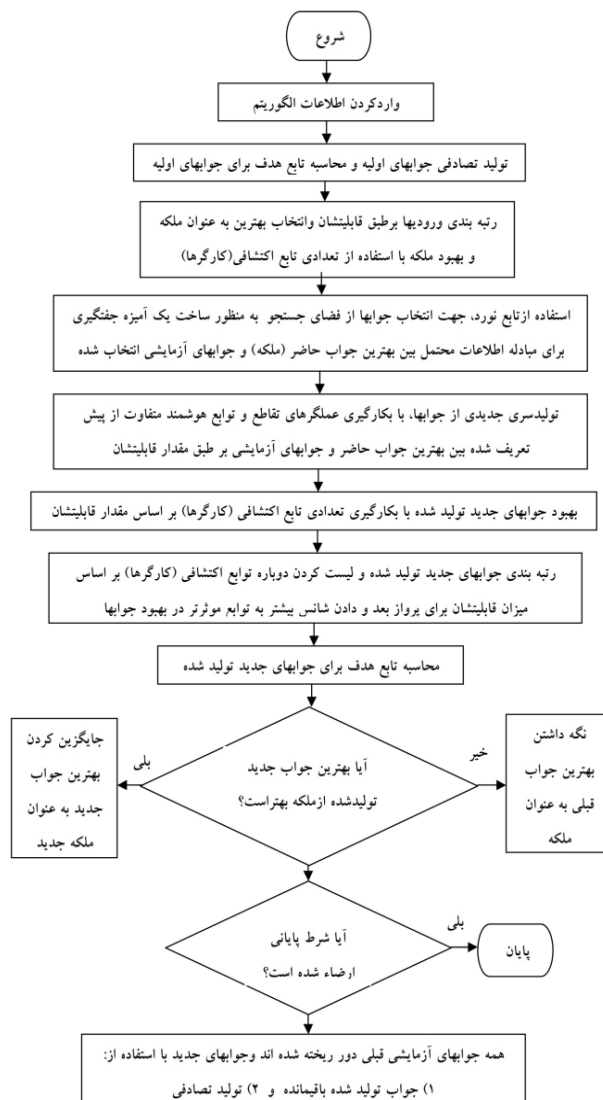
گام ۲: تولید تصادفی جواب‌های اولیه ($Qh_{j,t}$) در محدوده مشخص شده توسط مسئله؛

۷۴ برنامه ریزی کوتاه مدت واحدهای آبی حرارتی با استفاده از الگوریتم توسعه یافته بهینه یابی جفت گیری زنبور عسل

است. نتیجه پس از ۱۰ بار اجرای برنامه به دست آمده که در هر بار اجرا، جمعیت اولیه به صورت رندوم تولید شده است. نتیجه به دست آمده با نتایج حاصل بر روی سیستم یکسان در مرجع های [۲۰،۸] مقایسه شده است که می توان اطلاعات مربوطه را در جدول (۲) مشاهده کرد.

پارامترهای مورد استفاده برای الگوریتم جفت گیری زنبور عسل، از قبیل: اندازه جمعیت، ضربی تقاطع، ضربی جهش و غیره در جدول (۱) معین شده است.

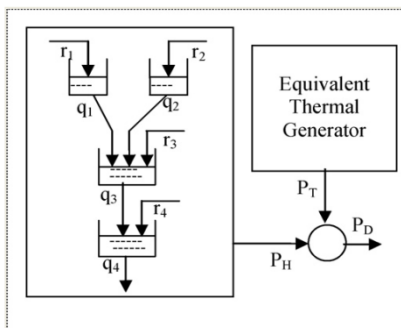
تمام برنامه ها توسط نرم افزار متلب و با سیستم با مشخصات (2.67GHZ CPU, 4GB RAM) نوشته شده



شکل (۲): فلوچارت الگوریتم IHBMO

کم است. داده های بهینه مربوط به برنامه ریزی آبی - حرارتی در جدول های (۳) و (۴) و شکل های (۴) و (۵) نشان داده شده است. جدول (۳) مقدار توان تولیدی واحدهای واحدهای آبی و حرارتی را برابر حسب MW و برای هر ساعت مشخص

با توجه به جدول (۲) مشاهده می شود که نتیجه حاصل از این الگوریتم (IHBMO)، از نتیجه حاصل از روش های مختلف بهینه یابی و همچنین، روش بهینه یابی جفت گیری زنبور عسل (HBMO) نیز بهتر و جواب ها دارای استحکام بوده است؛ یعنی فاصله بین بدترین جواب و بهترین جواب



شکل (۳): شماتیک یک سیستم آبی حرارتی [25]

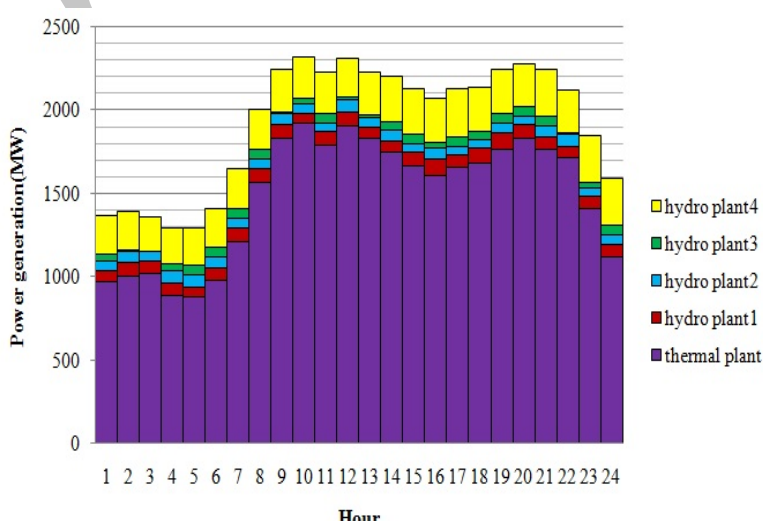
جدول (۱): پارامترهای مربوط به IHBMO در برنامه ریزی

سیستم

| مقادیر | پارامترها |
|---------|---|
| ۵۰ | اندازه جمعیت |
| ۰/۵ | ضریب تقاطع |
| ۰/۰۱ | ضریب جهش |
| ۳۰ | حداکثر تعداد جفت گیری |
| ۲۵ | حداقل تعداد جفت گیری |
| ۱۵ | تعداد نوزادان |
| ۰/۹۸ | ضریب کاهش سرعت (α) |
| [۰/۰۱] | سرعت ملکه در آغاز پرواز جفت گیری |
| [۰/۰/۵] | حداقل سرعت ملکه در پایان پرواز جفت گیری |
| ۵۰۰۰ | تعداد پروازهای جفت گیری |
| ۱ | تعداد ملکه ها |

می‌کند. جدول (۴) مشخص کننده نرخ آب خروجی بهینه برای هر ساعت در طول یک شبانه روز است. شکل (۴) میزان توان تولیدی توسط واحدهای آبی و حرارتی در طول ۲۴ ساعت را نشان می‌دهد. شکل (۵) میزان حجم آب ذخیره شده را در طول ۲۴ ساعت به تصویر کشیده است. مجموع نوسان‌های حجم آب نهایی مربوط به چهار واحد نیروگاهی در پایان دوره برنامه ریزی $0/۰۸$ است. این مقدار نشان دهنده ترانس بسیار اندک حجم آب نهایی بوده، مشخص کننده این است که قید حجم آب نهایی به خوبی ارضاء شده است.

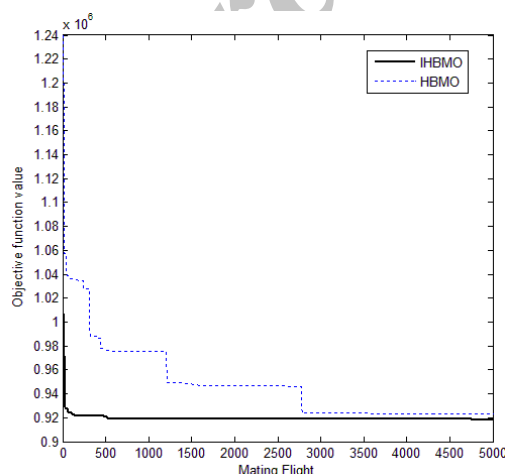
شکل (۶) تمایل به همگرایی تابع هدف را برای الگوریتم زنبور عسل در دو حالت معمولی و توسعه یافته نسبت به تعداد پرواز جفت گیری ملکه نشان می‌دهد. با توجه به شکل به روشنی دیده می‌شود که سرعت همگرایی در حالت توسعه یافته بسیار بهتر از حالت معمولی بوده؛ به طوری که پس از ۵۰۰ تکرار الگوریتم تقریباً به مقدار نهایی خود رسیده است، در حالی که در روش بهینه یابی جفت گیری زنبور عسل معمولی پس از ۳۰۰۰ تکرار و در روش بهینه سازی انبوه ذرات [۸] الگوریتم پس از ۲۰۰۰۰ تکرار همگرا شده است.



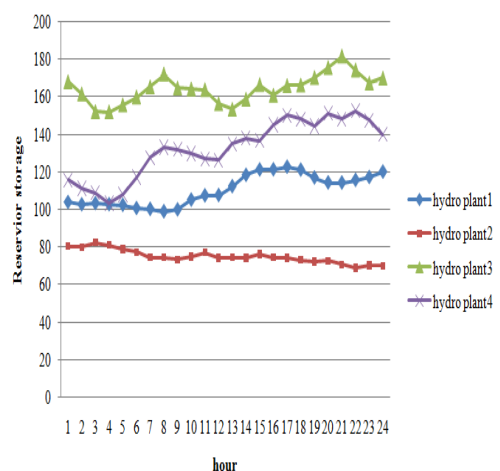
شکل (۴): برنامه تولید برای هر ساعت

جدول(۲): توان تولیدی واحدهای آبی و حرارتی را بر حسب MW

| حرارتی | نیروگاه ۱ | نیروگاه ۲ | نیروگاه ۳ | نیروگاه ۴ | ساعت |
|--------|-----------|-----------|-----------|-----------|------|
| ۹۶۷ | ۲۳۸/۸۴۵۸ | ۳۹/۷۵۱۶ | ۶۰/۴۹۱۱ | ۶۳/۸۹۹۷ | ۱ |
| ۹۹۸/۷ | ۲۳۱/۳۲۱۳ | ۸/۴۲۶۷ | ۶۳/۷۳۷۱ | ۸۷/۸۴۳۱ | ۲ |
| ۱۰۲۲ | ۲۰۷/۳۹۲۷ | ۴/۳۵۰۵ | ۵۴/۳۶۸۴ | ۷۱/۸۸۰۷ | ۳ |
| ۸۸۹/۹ | ۲۱۳/۱۳۸۴ | ۳۹/۰۳۱۸ | ۷۵/۰۰۶۳ | ۷۲/۹۴۴۳ | ۴ |
| ۸۷۴/۶ | ۲۲۳/۷۳۸۷ | ۵۴/۶۴۴۹ | ۷۷/۹۰۷۹ | ۶۴/۱۴۹۶ | ۵ |
| ۹۷۴/۴ | ۲۳۶/۲۱۷۹ | ۵۶/۶۴۵۳ | ۶۳/۲۳۶۰ | ۷۹/۴۸۹۱ | ۶ |
| ۱۲۱۱/۰ | ۲۴۰/۰۶۹۱ | ۵۷/۵۴۶۶ | ۶۲/۹۷۳۷ | ۷۷/۸۹۸۰ | ۷ |
| ۱۵۶۳/۸ | ۲۳۷/۸۸۷۵ | ۵۹/۱۸۹۰ | ۵۲/۲۱۶۳ | ۸۶/۹۰۵۶ | ۸ |
| ۱۸۳۲/۱ | ۲۵۱/۰۲۷۳ | ۱۱/۸۳۳۸ | ۶۴/۲۶۹۶ | ۸۰/۷۴۹۷ | ۹ |
| ۱۹۱۷ | ۲۴۶/۹۳۴۴ | ۴۰/۲۶۶۴ | ۵۵/۵۶۹۶ | ۶۰/۲۶۰۲ | ۱۰ |
| ۱۷۸۵/۶ | ۲۵۳/۳۴۸۳ | ۵۲/۰۱۲۰ | ۵۲/۱۲۲۷ | ۸۶/۹۳۱۴ | ۱۱ |
| ۱۹۰۲/۴ | ۲۳۱/۸۱۵۵ | ۱۵/۴۰۹۹ | ۷۲/۶۵۰۱ | ۸۷/۷۱۴۸ | ۱۲ |
| ۱۸۳۳ | ۲۵۹/۰۹۹۸ | ۱۶/۲۰۶۷ | ۵۶/۲۹۰۶ | ۶۵/۴۲۳۰ | ۱۳ |
| ۱۷۴۷/۳ | ۲۶۸/۰۲۳۳ | ۵۶/۱۸۴۲ | ۶۵/۲۵۷۹ | ۶۳/۲۳۶۳ | ۱۴ |
| ۱۶۶۵/۳ | ۲۷۲/۲۸۸۰ | ۵۸/۲۰۱۶ | ۵۳/۸۵۷۵ | ۸۰/۳۲۹۸ | ۱۵ |
| ۱۶۱۰/۳ | ۲۶۴/۰۳۶۳ | ۳۶/۴۷۵۹ | ۶۷/۷۹۸۳ | ۹۱/۳۸۵۶ | ۱۶ |
| ۱۶۵۲/۲ | ۲۸۹/۷۵۴۹ | ۵۷/۸۳۲۹ | ۵۳/۱۶۹۸ | ۷۷/۰۷۳۵ | ۱۷ |
| ۱۶۸۱/۱ | ۲۶۸/۷۹۵۶ | ۴۸/۳۹۵۵ | ۵۲/۴۹۹۸ | ۸۹/۲۳۷۳ | ۱۸ |
| ۱۷۶۶/۰ | ۲۶۲/۶۳۹۲ | ۵۸/۶۲۲۳ | ۵۵/۸۳۸۲ | ۹۶/۴۰۰۸ | ۱۹ |
| ۱۸۲۵/۸ | ۲۵۶/۵۷۸۵ | ۵۹/۷۷۸۵ | ۵۵/۰۹۳۰ | ۸۲/۷۵۸۹ | ۲۰ |
| ۱۷۶۲/۳ | ۲۷۵/۰۱۶۸ | ۶۰/۸۰۸۳ | ۷۰/۰۷۰۳ | ۷۱/۸۲۷۵ | ۲۱ |
| ۱۷۱۳/۸ | ۲۵۷/۲۴۲۲ | ۱۲/۰۵۲۴ | ۶۸/۶۶۰۳ | ۶۸/۲۴۵۴ | ۲۲ |
| ۱۴۰۸/۸ | ۲۸۸/۸۹۱۹ | ۳۰/۲۵۹۷ | ۴۶/۸۸۱۸ | ۷۵/۲۰۹۸ | ۲۳ |
| ۱۱۱۸/۶ | ۲۸۳/۴۲۱۹ | ۵۸/۱۷۳۵ | ۵۶/۶۹۶۹ | ۷۳/۱۵۶۵ | ۲۴ |



شکل(۶): فرایند همگرایی روش جفت گیری زنبور عسل برای واحدهای آبی - حرارتی



شکل(۵): تغییرات حجم آب ذخیره شده برای واحدهای آبی
($\times 10^4 \text{ m}^3$)

جدول(۳): مقایسه روش‌های مختلف بهینه سازی

| روش ها | IHBMO | HBMO | GA[8] | MAPSO[11] | GCPSO[8] | GWPSO[8] |
|-------------------|-----------|-----------|-----------|-----------|----------|----------|
| ماکریم | ۹۲۲۳۴۰ | ۹۲۷۷۹۰ | ۹۵۱۰۸۷ | ۹۲۳۵۰۸ | ۹۷۲۶۵۸ | ۹۵۱۲۵۳ |
| مینیمم | ۹۱۸۵۵۰ | ۹۲۳۳۰۰ | ۹۴۲۶۰۰ | ۹۲۲۴۲۱ | ۹۲۷۲۸۸ | ۹۳۰۶۲۲ |
| میانگین | ۹۲۱۰۵۶ | ۹۲۵۹۰۵ | ۹۴۶۶۰۹ | ۹۲۲۵۴۴ | ۹۳۶۷۱۷ | ۹۴۰۰۳۶ |
| انحراف معیار | ۱۴۴۷/۱۶۳ | ۱۵۶۴/۹۴۴ | ۲۶۰۲/۸۴۰ | -- | -- | -- |
| ضریب تغییرات | ۰/۰۰۱۵۷۱۲ | ۰/۰۰۱۶۹۰۳ | ۰/۰۰۲۷۴۹۶ | -- | -- | -- |
| متوسط زمان(ثانیه) | ۱۱۱/۱ | ۱۵۳/۸ | -- | -- | -- | -- |
| روش ها | LCPSO[8] | LWPSO[8] | EPSO[9] | FEP[19] | CEP[19] | IFEP[19] |
| ماکریم | ۹۲۸۲۱۹ | ۹۲۷۷۴۰ | ۹۲۴۸۰۸ | ۹۳۱۳۹۶ | ۹۳۰۹۲۷ | ۹۳۰۸۸۱ |
| مینیمم | ۹۲۵۶۱۸ | ۹۲۵۳۸۳ | ۹۲۲۹۰۴ | ۹۳۰۲۶۷ | ۹۳۰۱۶۶ | ۹۳۰۱۲۹ |
| میانگین | ۹۲۶۶۵۱ | ۹۲۶۳۵۲ | ۹۲۲۵۲۷ | ۹۳۰۸۹۷ | ۹۳۰۳۷۳ | ۹۳۰۲۹۰ |
| انحراف معیار | -- | -- | -- | -- | -- | -- |
| ضریب تغییرات | -- | -- | -- | -- | -- | -- |
| متوسط زمان(ثانیه) | -- | -- | -- | -- | -- | -- |

جدول(۴): نرخ تخلیه ساعتی آب نیروگاه ها ($\times 10^4 \text{ m}^3/\text{h}$)

| ساعت | نیروگاه۱ | نیروگاه۲ | نیروگاه۳ | نیروگاه۴ | نیروگاه۵ |
|------|----------|----------|----------|----------|----------|
| ۱ | ۶/۲۷۷۴۵ | ۷/۷۱۹۰ | ۷/۱۰۲۲۳ | ۱۷/۱۴۲۶ | |
| ۲ | ۱۰/۲۱۰۲ | ۸/۳۰۱۲ | ۲۵/۷۰۱۰ | ۱۶/۸۱۳۷ | |
| ۳ | ۷/۳۷۶۲ | ۶/۵۶۹۹ | ۲۵/۷۲۹۱ | ۱۳/۹۷۴۰ | |
| ۴ | ۷/۵۵۳۴ | ۷/۰۷۸۱ | ۲۰/۰۳۸۰ | ۱۵/۴۹۴۶ | |
| ۵ | ۶/۳۴۹۵ | ۱۰/۲۳۸۱ | ۱۴/۹۳۳۸ | ۱۶/۲۷۲۶ | |
| ۶ | ۸/۷۰۱۵ | ۸/۰۵۱۸۰ | ۱۳/۹۱۵۶ | ۱۶/۴۶۷۴ | |
| ۷ | ۸/۴۵۱۹ | ۸/۸۱۲۷ | ۱۴/۳۶۵۹ | ۱۵/۴۰۷۰ | |
| ۸ | ۱۰/۳۰۴۸ | ۶/۹۸۰۷ | ۱۴/۰۵۷۷ | ۱۴/۴۲۳۷ | |
| ۹ | ۸/۹۶۹۳ | ۹/۲۲۰۱ | ۲۵/۴۱۲۶ | ۱۶/۲۱۸۱ | |
| ۱۰ | ۵/۷۹۰۴ | ۷/۴۸۴۰ | ۲۰/۰۵۶۹ | ۱۵/۹۷۳۰ | |
| ۱۱ | ۹/۷۰۱۱ | ۶/۷۱۴۷ | ۱۷/۳۷۱۳ | ۱۳/۳۳۷۲ | |
| ۱۲ | ۹/۸۴۸۷ | ۱۰/۹۲۱۴ | ۲۴/۴۶۷۵ | ۱۴/۰۵۱۸ | |
| ۱۳ | ۶/۲۷۲۹ | ۷/۶۳۱۳ | ۲۴/۱۸۱۶ | ۱۶/۸۷۰۷ | |
| ۱۴ | ۵/۹۲۶۶ | ۹/۲۸۴۲ | ۱۴/۱۶۵۸ | ۱۷/۶۸۷۵ | |
| ۱۵ | ۸/۱۰۸۰ | ۷/۰۶۸۷ | ۱۲/۳۸۸۰ | ۱۸/۰۴۶۸ | |
| ۱۶ | ۹/۹۳۰۸ | ۹/۷۸۲۲ | ۲۱/۲۲۳۵ | ۱۶/۱۲۰۷ | |
| ۱۷ | ۷/۶۲۲۳۱ | ۷/۱۰۵۸ | ۱۸/۲۰۴۵ | ۱۸/۹۹۰۵ | |
| ۱۸ | ۹/۵۴۲۴ | ۷/۱۷۳۵ | ۱۸/۷۷۸۱ | ۱۶/۳۴۲۲ | |
| ۱۹ | ۱۱/۲۰۰۴ | ۷/۸۱۰۶ | ۱۴/۳۶۰۹ | ۱۶/۰۲۳۴ | |
| ۲۰ | ۸/۶۵۷۰ | ۷/۶۴۵۰ | ۱۲/۳۳۰۱ | ۱۴/۰۵۴۳ | |
| ۲۱ | ۷/۰۵۶۹ | ۱۰/۹۰۲۳ | ۱۴/۲۹۳۲ | ۱۷/۱۴۶۸ | |
| ۲۲ | ۶/۵۶۸۵ | ۱۰/۹۰۴۹ | ۲۵/۸۰۳۴ | ۱۴/۴۹۰۱ | |
| ۲۳ | ۷/۴۵۶۶ | ۶/۵۹۹۳ | ۲۲/۷۷۱۲ | ۱۹/۳۲۷۱ | |
| ۲۴ | ۷/۱۳۲۷ | ۸/۲۳۴۷ | ۱۴/۷۹۸۷ | ۱۹/۸۱۵۶ | |

- hydropower plants via Lagrangian Relaxation and Sequential Quadratic programming”, J. Computer. Appl. Math. Vol. 24, No. 3, pp. 317–341, 2005.
- [7] Salam, M. S., Nor, K. M., Hamdam, A. R., “Hydrothermal scheduling based Lagrangian relaxation approach to hydrothermal coordination”, IEEE Trans. On Power System. Vol. 13, No. 1, pp. 226–235, 1998.
- [8] Yu, B., Yuan, X., Wang, J., “Short-term hydro-thermal scheduling using particle swarm optimization method”, Energ. Convers. Manag, Vol.48, pp. 1902–1908, 2007.
- [9] Yuan, X., Wang, L., Yuan, Y., “Application of enhanced PSO approach to optimal scheduling of hydro system”, Energ. Convers. Manag, Vol. 49, pp. 2966–2972, 2008.
- [10] Zoumas, C. E., Bakirtzis, A. G., Theocharis, J. B., Petridis, V., “A genetic algorithm solution approach to the hydrothermal coordination problem”, IEEE Trans. On Power System. Vol. 19, No. 2, pp.1356–1364, 2004.
- [11] Amjadi, N., Rezai Soleymanpour, H., “Daily Hydrothermal Generation Scheduling by a new Modified Adaptive Particle Swarm Optimization technique”, Electric Power Systems Research. IEEE Trans. On Power System, Vol.24, No.3, pp.1489–1502, November 2009.
- [12] Naresh, R., Sharma, J., “Two-phase neural network based solution technique for short term hydrothermal scheduling”, IEE Proc-Gener Transm Distrib, Vol. 146, No. 6, pp. 657–663, 1999.
- [13] Wong, K., Wong, Y., “Short-term hydrothermal scheduling. Part 1: simulated annealing approach”, IEE Proc-Gener Transm Distrib, Vol. 141, No. 5, pp. 497–501, 1994.
- [14] Gil, E., Bustos, J., Rudnick, H., “Short-term hydrothermal generation scheduling model using a genetic algorithm”, IEEE Trans. On Power System, Vol.18, No.4, pp. 1256–1264, 2003.
- [15] Kumar, S., Naresh, R., “Efficient real coded genetic algorithm to solve the nonconvex hydrothermal scheduling problem”, Int. J. Electr. Power Energ. System, Vol.29, pp.738–747, 2007.
- [16] Bai, X., Shahidehpour, S., “Hydro-thermal scheduling by tabu search and decomposition method”, IEEE Trans. on Power System, vol. 11, No. 2, pp. 968–974, 1996.
- [17] Huang, S., “Enhancement of hydroelectric generation scheduling using ant colony

۶- نتیجه گیری

در این مقاله روش بهینه یابی جفت گیری زنبور عسل بر روی واحدهای آبی و حرارتی بر روی یک سیستم مشخص در طول ۲۴ ساعت با موفقیت انجام شد. میزان کارایی و موفقیت این روش از طریق مقایسه با دیگر روش‌های بهینه سازی به خوبی نشان داده شده است. با توجه به نتایج به دست آمده، مشاهده می‌شود که تمایل به همگرایی و همچنین سرعت همگرایی در الگوریتم معرفی شده نسبت به روش‌های دیگر بسیار بهتر است. همچنین، میزان ترانس حجم آب نهایی مربوط به چهار واحد بسیار اندک بوده؛ پس می‌توان نتیجه گرفت که الگوریتم توسعه یافته جفت گیری زنبور عسل در اراضی قیود پیچیده و غیر خطی بسیار موفق است.

مراجع

- [1] بزرگ حداد، امید، افشار، عباس و افشار، محمد هادی، ”الگوریتم بهینه یابی جفت گیری زنبور عسل در حل مسائل”， نشریه بین المللی علوم مهندسی دانشگاه علم و صنعت ایران، شماره ۲، جلد ۱۹، صفحات ۹۹–۱۱۲، دانشگاه علم و صنعت ایران، تابستان ۱۳۸۷
- [2] Erkmen, I., Karatas, B., “Short-term hydrothermal coordination by using multi-pass dynamic programming with successive approximation”, in: 7th Mediterranean Electrotechnical Conference, Vol. 3, pp. 925–928, 1994.
- [3] Oliveira, G. G., Soares, S., “A second order network flow algorithm for hydrothermal scheduling”, IEEE Trans. on Power Systems, Vol. 10, No. 3, pp.1635–1641, 1995.
- [4] Habibollahzadeh, H., Bubenko, J. A., “Application of decomposition techniques to short term operation planning of hydrothermal power system”, IEEE Trans. On Power Systems, Vol. 1, No.1, pp.41–47, 1986.
- [5] Chang, G. W., Aganagic, M., Waight, J.G., Medina, J., Burton, T., Reeves, S., Christoforidis, M., “Experiences with mixed integer linear programming based approaches on short-term hydro scheduling”, IEEE Trans. on Power System, Vol. 16, No.4, pp.743–749, 2001.
- [6] Finardi, E. C., Dasilva, E. L., Sagastizabal, C., “Solving the unit commitment problem of

- [22] Laidlaw, H.H., Page, R.E., "Mating Designs", In T.E. Rinderer, editor, Bee Genetics and Breeding, Academic Press Inc, pp.323–341, 1986.
- [23] Page, R.E., "The Evolution of Multiple Mating Behavior by Honey Bee Queens (*Apis Mellifera L*)" Journal of Genetics, Vol. 96, pp.263-273, 1980.
- [24] Abbass, H.A, "Marriage in Honey Bees Optimization (MBO): A Haplometrosis Polygynous Swarming Approach", The Congress on Evolutionary Computation, CEC2001, Seoul, Korea, pp. 207-214, May 2001.
- [25] Hota, P. K., Barisal, A. K., Chakrabarti, R. , "An improved PSO technique for short-term optimal hydrothermal scheduling", Electric. Power System. Research, Vol.79, pp. 1047–1053, 2009.
- system based optimization approaches", IEEE Trans Energy Convers, Vol.16, No.3, pp. 296–301, 2001.
- [18] Yuan, X., Yuan, Y., "Application of cultural algorithm to generation scheduling of hydrothermal systems", Energ. Convers. Manag, Vol.47, pp.2192–2201, 2006.
- [19] Sinha, N., Chakrabarti, R., Chattopadhyay, P. K., "Fast evolutionary programming techniques for short-term hydrothermal scheduling", IEEE Trans. On Power System, Vol.18, No.1, pp.214–220, 2003.
- [20] Ororo, S.O., Irving, M. R., "A genetic algorithm modeling framework and solution technique for short term optimal hydrothermal scheduling", IEEE Trans. on Power System, Vol.13, No.2, pp.501–518, 1998.
- [21] Moritz, R.F.A, Southwick, E.E, "Bees as Super Organisms", Berlin, Springer Verlag, 1992.

پیوست

جدول (۵): دبی آب ورودی ($m^3/h^{48 \times 10^6}$)

| متابع آبی | | | | ساعت |
|-----------|--------|--------|--------|------|
| ۱ منبع | ۲ منبع | ۳ منبع | ۴ منبع | |
| ۱۰ | ۸ | ۸/۱ | ۲/۸ | ۱ |
| ۹ | ۸ | ۸/۲ | ۲/۴ | ۲ |
| ۸ | ۹ | ۴ | ۱/۶ | ۳ |
| ۷ | ۹ | ۲ | . | ۴ |
| ۶ | ۸ | ۳ | . | ۵ |
| ۷ | ۷ | ۴ | . | ۶ |
| ۸ | ۶ | ۳ | . | ۷ |
| ۹ | ۷ | ۲ | . | ۸ |
| ۱۰ | ۸ | ۱ | . | ۹ |
| ۱۱ | ۹ | ۱ | . | ۱۰ |
| ۱۲ | ۹ | ۱ | . | ۱۱ |
| ۱۰ | ۸ | ۲ | . | ۱۲ |
| ۱۱ | ۸ | ۴ | . | ۱۳ |
| ۱۲ | ۹ | ۳ | . | ۱۴ |
| ۱۱ | ۹ | ۳ | . | ۱۵ |
| ۱۰ | ۸ | ۲ | . | ۱۶ |
| ۹ | ۷ | ۲ | . | ۱۷ |
| ۸ | ۶ | ۲ | . | ۱۸ |
| ۷ | ۷ | ۱ | . | ۱۹ |
| ۶ | ۸ | ۱ | . | ۲۰ |
| ۷ | ۹ | ۲ | . | ۲۱ |
| ۸ | ۹ | ۲ | . | ۲۲ |
| ۹ | ۸ | ۱ | . | ۲۳ |
| ۱۰ | ۸ | . | . | ۲۴ |

جدول (۶): میزان بار ساعتی مورد تقاضای سیستم

| تقاضای بار | | | |
|------------|----------|------|----------|
| ساعت | بار (MW) | ساعت | بار (MW) |
| ۱ | ۱۳۷۰ | ۱۳ | ۲۲۳۰ |
| ۲ | ۱۳۹۰ | ۱۴ | ۲۲۰۰ |
| ۳ | ۱۳۶۰ | ۱۵ | ۲۱۳۰ |
| ۴ | ۱۲۹۰ | ۱۶ | ۲۰۷۰ |
| ۵ | ۱۲۹۰ | ۱۷ | ۲۱۳۰ |
| ۶ | ۱۴۱۰ | ۱۸ | ۲۱۴۰ |
| ۷ | ۱۶۵۰ | ۱۹ | ۲۲۴۰ |
| ۸ | ۲۰۰۰ | ۲۰ | ۲۲۸۰ |
| ۹ | ۲۲۴۰ | ۲۱ | ۲۲۴۰ |
| ۱۰ | ۲۳۲۰ | ۲۲ | ۲۱۲۰ |
| ۱۱ | ۲۲۳۰ | ۲۳ | ۱۸۵۰ |
| ۱۲ | ۲۳۱۰ | ۲۴ | ۱۵۹۰ |

جدول (۷): ضرایب توان تولیدی توسط واحدهای آبی

| | | | | | | | | نیروگاه |
|---|---------|-------|-------|-------|------|-----|---|---------|
| ۱ | -۰/۰۰۴۲ | -۰/۴۲ | ۰/۰۳۰ | ۰/۹۰ | ۱۰/۰ | -۵۰ | ۰ | ۲ |
| ۲ | -۰/۰۰۴۰ | -۰/۳۰ | ۰/۰۱۵ | ۱/۱۴ | ۹/۵ | -۷۰ | ۰ | ۳ |
| ۳ | -۰/۰۰۱۶ | -۰/۳۰ | ۰/۰۱۴ | ۰/۰۵۵ | ۵/۵ | -۴۰ | ۲ | ۴ |
| ۴ | -۰/۰۰۳۰ | -۰/۳۱ | ۰/۰۲۷ | ۱/۴۴ | ۱۴/۰ | -۹۰ | ۱ | ۰ |

جدول (۸): محدوده مجاز نوسان قیود مختلف سیستم آبی (m³ × ۱۰^۴)

| | | | | | | | | نیروگاه |
|---|-----|-----|-----|-----|----|----|---|---------|
| ۱ | ۸۰ | ۱۵۰ | ۱۰۰ | ۱۲۰ | ۵ | ۱۵ | ۰ | ۵۰۰ |
| ۲ | ۶۰ | ۱۲۰ | ۸۰ | ۷۰ | ۶ | ۱۵ | ۰ | ۵۰۰ |
| ۳ | ۱۰۰ | ۲۴۰ | ۱۷۰ | ۱۷۰ | ۱۰ | ۲۰ | ۰ | ۵۰۰ |
| ۴ | ۷۰ | ۱۶۰ | ۱۲۰ | ۱۴۰ | ۱۳ | ۲۵ | ۰ | ۵۰۰ |

زیرنویس‌ها

^۱ Genetic Algorithm (GA)

^۲ Particle Swarm Optimization Algorithm (PSO)

^۳ Honey bee mating optimization algorithm (HBMO)

^۴ Improved honey bee mating optimization algorithm (IHBMO)